

К ТЕОРИИ ЭЛЕКТРОСТАТИЧЕСКОЙ ФОКУСИРОВКИ
ИНТЕНСИВНЫХ ПУЧКОВ ЗАРЯЖЕННЫХ ЧАСТИЦ

B. A. Сыровой

(Москва)

Проблема определения электродов для формирования интенсивных пучков заряженных частиц в математической постановке сводится к решению задачи Коши для уравнения Лапласа. Известно, что здесь можно действовать, либо разделяя переменные [1], либо основываясь на теории аналитического продолжения [2-5]. Такой подход позволяет рассматривать плоские или осесимметричные течения. Ниже приводится алгоритм построения аналитического решения, который может быть применен и в трехмерном случае. Предполагается, что граница пучка совпадает с координатной поверхностью $x^1 = 0$ некоторой ортогональной системы x^i ($i = 1, 2, 3$). Решение представлено в виде ряда по x^1 с коэффициентами, зависящими от x^2, x^3 , определяемыми из рекуррентных соотношений. При эмиссии, ограниченной пространственным зарядом и температурой, вообще говоря, возникают трудности, связанные с расходностью рядов и приводящие к невозможности расчета нулевой эквипотенциали указанным методом.

В качестве примера рассмотрены задачи о формировании пучков с эллиптическим поперечным сечением: (1) при периодической вариации z -компоненты скорости; (2) случай немонотонного изменения потенциала в одномерном течении между плоскостями $z = \text{const}$; (3) пучок, ускоряемый в соответствии с законом $\frac{3}{2}$.

При построении разложений условия на границе точно удовлетворяются уже двумя первыми членами ряда.

§ 1. Построение решения в общем случае. Связем поверхность пучка с некоторой ортогональной¹ системой координат x^i ($i = 1, 2, 3$), считая, что $x^1 = 0$ — ее уравнение в этой системе. Задача состоит в построении решения уравнения Лапласа

$$\frac{\partial}{\partial x^i} \left(\sqrt{g} g^{ik} \frac{\partial \varphi}{\partial x^k} \right) = 0 \quad (1.1)$$

удовлетворяющего следующим условиям при $x^1 = 0$:

$$\varphi = \Phi(x^2, x^3), \quad \sqrt{g^{11}} \frac{\partial \varphi}{\partial x^1} = \varepsilon(x^2, x^3) \quad (1.2)$$

Так как решение предполагается искать в виде ряда по x^1 с коэффициентами, зависящими от x^2, x^3

$$\varphi = \varphi_k(x^1)^k \quad (k = 0, 1, \dots) \quad (1.3)$$

представим в виде аналогичных рядов элементы метрического тензора g_{ik} , а также комбинации $\sqrt{g} g^{ik}$

$$g_{11} = a_k(x^1)^k, \quad \sqrt{g} g^{11} = \alpha_k(x^1)^k, \quad \sqrt{g} g^{22} = \beta_k(x^1)^k, \quad \sqrt{g} g^{33} = \gamma_k(x^1)^k \quad (1.4)$$

$$(k = 0, 1, \dots)$$

Здесь индексы k имеют обычный смысл порядкового номера членов ряда и степеней.

¹ Система x^i предполагается ортогональной для простоты; неортогоональность приведет лишь к усложнению выкладок.

Подставляя (1.3), (1.4) в (1.1) и приравнивая коэффициенты при одинаковых степенях x^1 , приходим к рекуррентным соотношениям для определения Φ_k

$$s \sum_{k=0}^s (s-k+1) \alpha_k \Phi_{s-k+1} + \sum_{k=0}^{s-1} \{ [\beta_k (\varphi_{s-k-1})_2]_2' + [\gamma_k (\varphi_{s-k-1})_3]_3' \} = 0 \quad (1.5)$$

$(s = 1, 2, \dots)$

Здесь штрих означает дифференцирование, нижний индекс указывает на координату, по которой оно производится.

Выпишем несколько членов разложения потенциала

$$\varphi_0 = \Phi, \quad \varphi_1 = \varepsilon a_0^{1/2} \quad (1.6)$$

$$\begin{aligned} \varphi_2 &= [(1/4 a_1/a_0^{3/2} + 1/2 T_1) \varepsilon + 1/2 T_2 \Phi_P' + 1/2 T_3 \Phi_Q' - 1/2 (\Phi_P'' + \Phi_Q'')] a_0 \\ \varphi_3 &= \{ 1/6 \varepsilon a_2/a_0^2 - 1/24 \varepsilon a_1^2/a_0^3 + 1/4 (a_1/a_0^{3/2}) (T_1 \varepsilon + T_2 \Phi_P' + T_3 \Phi_Q' - \\ &\quad - \Phi_P'' - \Phi_Q'') + 1/6 \varepsilon T_{1S}' + 1/3 T_1 (1/2 T_1 \varepsilon + T_2 \Phi_P' + T_3 \Phi_Q' - \\ &\quad - \Phi_P'' - \Phi_Q'') + 1/6 [(2k_1 + k_2) (\varepsilon_P' - k_1 \varepsilon) + (2\delta_1 + \delta_2) (\varepsilon_Q' - \delta_1 \varepsilon) - \\ &\quad - (\varepsilon_P' - k_1 \varepsilon)_P' - (\varepsilon_Q' - \delta_1 \varepsilon)_Q'] + 1/6 [\kappa_1 T_2 - \kappa_2 (2k_1 + k_2) - \\ &\quad - \kappa_{1P}' + \kappa_{2P}' + k_{1S}'] \Phi_P' + 1/6 [\kappa_2 T_3 - \kappa_1 (2\delta_1 + \delta_2) + \kappa_{1Q}' - \\ &\quad - \kappa_{2Q}' + \delta_{1S}'] \Phi_Q' - 1/6 (\kappa_1 - \kappa_2) (\Phi_P'' - \Phi_Q'') \} a_0^{3/2} \end{aligned}$$

Начиная с φ_2 , коэффициенты в (1.3) зависят не только от производных функций Φ , ε по дугам P , Q криволинейных осей x^2 , x^3

$$P = \int \sqrt{g_{22}} dx^2, \quad Q = \int \sqrt{g_{33}} dx^3$$

но и от геометрии поверхности. Здесь κ_1 и κ_2 — главные кривизны поверхности $x^1 = 0$; $T_1 = \kappa_1 + \kappa_2$ — ее полная кривизна; k_1 , k_2 и T_2 , δ_1 , δ_2 и T_3 — главные и полные кривизны координатных поверхностей $x^2 = \text{const}$, $x^3 = \text{const}$, вычисленные при $x^1 = 0$

$$\begin{aligned} \kappa_1 &= - \frac{1}{2 \sqrt{g_{11}}} \frac{\partial \ln g_{22}}{\partial x^1}, \quad \kappa_2 = - \frac{1}{2 \sqrt{g_{11}}} \frac{\partial \ln g_{33}}{\partial x^1}, \quad k_1 = - \frac{1}{2 \sqrt{g_{22}}} \frac{\partial \ln g_{11}}{\partial x^2}, \\ k_2 &= - \frac{1}{2 \sqrt{g_{22}}} \frac{\partial \ln g_{33}}{\partial x^2}, \quad \delta_1 = - \frac{1}{2 \sqrt{g_{33}}} \frac{\partial \ln g_{11}}{\partial x^3}, \quad \delta_2 = - \frac{1}{2 \sqrt{g_{33}}} \frac{\partial \ln g_{22}}{\partial x^3} \end{aligned}$$

Далее, S — длина дуги криволинейной оси x^1 , ортогональной к поверхности пучка

$$S = \int \sqrt{g_{11}} dx^1$$

так что T_{1S}' , например, означает скорость изменения полной кривизны поверхностей $x^1 = \text{const}$, вычисленную при $x^1 = 0$. Значение коэффициентов определяется не только геометрией задачи, но и смыслом параметра, по которому производится разложение. При этом имеется в виду возможность построения решения в системах, получающихся одна из другой преобразованиями типа $(x^1)' = f(x^1)$, не меняющими геометрии координатных поверхностей $x^1 = \text{const}$; элементы метрического тензора, однако, становятся другими. Например, для цилиндрического пучка $R = \text{const}$ при рассмотрении в полярных координатах (1) R , ψ , z и координатах (2) $\ln R$, ψ , z имеем

$$(1) \quad g_{11} = 1, \quad g_{22} = (x^1)^2, \quad a_0 = 1, \quad a_2 = a_3 = \dots = 0$$

$$(2) \quad g_{11} = \exp(2x^1), \quad g_{22} = \exp(2x^1), \quad a_k = 2^k/k!$$

Преобразования $(x^1)' = f(x^1)$ могут быть полезны для упрощения формул, определяющих φ_k в (1.3); кроме того, область сходимости (1.3) зависит от смысла x^1 .

Выражения (1.6) принимают универсальный вид, если перейти к разложению по дуге S криволинейной оси x^1 при помощи соотношения

$$s = a_0^{1/2} x^1 = S - \frac{1}{4} \frac{a_1}{a_0^{3/2}} S^2 + \frac{1}{6} \left(\frac{a_1^2}{a_0^3} - \frac{a_2}{a_0^{5/2}} \right) S^3 + \dots$$

Выполняя это преобразование, получаем

$$\begin{aligned} \varphi = & \Phi + \varepsilon S + \frac{1}{2} (T_1 \varepsilon + T_2 \Phi_P' + T_3 \Phi_Q' - \Phi_P'' - \Phi_Q'') S^2 + \\ & + \frac{1}{6} \{ 2T_1 (\frac{1}{2} T_1 \varepsilon + T_2 \Phi_P' + T_3 \Phi_Q' - \Phi_P'' - \Phi_Q'') + \varepsilon T_1 S' + \\ & + (2k_1 + k_2) (\varepsilon P' - k_1 \varepsilon) + (2\delta_1 + \delta_2) (\varepsilon Q' - \delta_1 \varepsilon) - (\varepsilon P' - k_1 \varepsilon)_P' - \\ & - (\varepsilon Q' - \delta_1 \varepsilon)_Q' + [\kappa_1 T_2 - \kappa_2 (2k_1 + k_2) - \kappa_1 P' + \kappa_2 P' + k_1 S'] \Phi_P' + \\ & + [\kappa_2 T_3 - \kappa_1 (2\delta_1 + \delta_2) + \kappa_1 Q' - \kappa_2 Q' + \delta_1 S'] \Phi_Q' - \\ & - (\kappa_1 - \kappa_2) (\Phi_P'' - \Phi_Q'') \} S^3 + \dots \end{aligned} \quad (1.7)$$

§ 2. Некоторые замечания. Предложенный алгоритм построения решения позволяет рассматривать трехмерные задачи. Вместе с тем, в общем случае вопрос о сходимости выражения (1.3) остается открытым. Ниже на конкретных примерах продемонстрированы трудности, с которыми можно столкнуться при формальном применении метода, а также сделана попытка обрисовать границы его пригодности.

2.1. *Формирование ленточного пучка.* Рассмотрим задачу о формировании ленточного пучка при эмиссии, ограниченной пространственным зарядом. Она, как известно [6], имеет аналитическое решение, выражаемое формулами

$$\varphi = (x^2 + y^2)^{2/3} \cos^{4/3} \arctg(y/x) = R^{4/3} \cos^{4/3} \psi \quad (2.1)$$

Построение разложения (1.3) в декартовых координатах приводит к следующему результату:

$$s^2 \varphi_{s+1} + \varphi_{s-1}'' = 0, \quad \varphi = \sum_{k=0}^{\infty} \frac{(-1)^k}{(2k)!} \frac{d^{2k} \Phi}{dx^{2k}} y^{2k}, \quad \Phi = x^{4/3} \quad (2.2)$$

Видно, что (2.2) сходится при $|y/x| < 1$, хотя выражение (2.1) имеет смысл для любых x, y . Формула (2.2) пригодна для построения поверхностей $\varphi = \text{const}$, достаточно удаленных от эмиттера, но ничего не дает для определения нулевой эквипотенциали.

Интересно, что при переходе к полярным координатам $x^1 = \psi$, $x^2 = R$ имеем

$$\begin{aligned} g_{11} = R^2, \quad g_{22} = 1, \quad \alpha_0 = R^{-1}, \quad \beta_0 = R, \quad \alpha_k = \beta_k = 0 \quad (k > 0) \\ s(s+1) R^{-1} \varphi_{s+1} + (R \varphi_{s-1}')' = 0, \quad \Phi = R^{4/3}, \quad \varepsilon = 0 \end{aligned} \quad (2.3)$$

Нетрудно убедиться, что все $\varphi_{2k+1} = 0$, $\varphi_{2k} = c_{2k} R^{4/3}$, где c_{2k} — коэффициенты разложения $\cos^{4/3} \psi$ в ряд, сходящийся при всех ψ .

Такая же трудность возникает и в задаче о формировании цилиндрического пучка [7], ускоряемого в соответствии с законом $z^3/2$, причем преодолеть ее можно совершенно аналогично, переходя от системы $x^1 = R$, $x^2 = z$, $x^3 = \psi$ к координатам

$$x^1 = [(R-1)^2 + z^2]^{1/2}, \quad x^2 = \arctg[(R-1)/z], \quad x^3 = \psi$$

Таким образом, при рассмотрении течений с особыми точками на границе пучка (например, эмиссия, ограниченная пространственным зарядом и температурой), вообще говоря, не удается получить полной картины эквипотенциальных поверхностей без специальных ухищрений. В противном случае (везде ненулевая скорость) можно ожидать, что область и скорость сходимости определяются лишь геометрией границы, удалением от нее и видом функций Φ, ε .

2.2. Формирование кольцевого пучка. Пользуясь методом § 1, определим фокусирующие электроды для кольцевого электростатического пучка, рассмотренного в [8]. Частицы движутся по окружностям, а потенциал в области, заполненной зарядами, задается выражением

$$\varphi = R^{-2} (\sin^3/2 \psi)^{4/3}$$

Пусть $x^1 = \ln R, x^2 = \psi$. Тогда

$$g_{11} = g_{22} = \sqrt{g} = \exp(2x^1), \quad \sqrt{gg^{11}} = \sqrt{gg^{22}} = 1, \quad \alpha_0 = \beta_0 = 1 \\ \alpha_k = \beta_k = 0 \quad (k > 0)$$

Соотношения (1.5) принимают вид

$$s(s+1)\varphi_{s+1} + \varphi_{s-1}'' = 0$$

Условия на границе пучка $R = 1$ при этом

$$\varphi_0 = \Phi = (\sin^3/2 \psi)^{4/3}, \quad \varphi_1 = -2\Phi$$

Решение задачи определяется рядом

$$\varphi_{2k} = \frac{(-1)^k}{(2k)!} \Phi^{(2k)}, \quad \varphi_{2k+1} = \frac{2(-1)^{k+1}}{(2k+1)!} \Phi^{(2k)} \\ \varphi = \sum_{k=0}^{\infty} \frac{(-1)^k}{(2k)!} \frac{d^{2k} \Phi}{d\psi^{2k}} \left(1 - \frac{2}{2k+1} \ln R\right) (\ln R)^{2k} \quad (2.4)$$

абсолютно сходящимся при всех R и $\psi \neq 2/3 \pi k$ ($k = 0, 1, 2$). Выражение (2.4) позволяет построить полный набор поверхностей $\varphi = \text{const}$ и представляет собой еще одну новую форму решения [1, 2].

2.3. Периодическая фокусировка ленточного пучка. В теории периодической фокусировки известны приближенные решения проблемы формирования, основывающиеся на аппроксимации немонотонного изменения потенциала на границе пучка квадратной параболой или косинусом

$$\varphi_0 = \alpha + (1-\alpha)(x/\sigma - 1)^2, \quad \varphi_0 = 1 - (1-\alpha) \cos(\pi x/2\sigma), \quad \varepsilon = 0 \quad (2.5)$$

Здесь α, σ — константы, определяющие минимальное значение потенциала и положение минимума. Применение соотношений (1.5) в декартовых координатах приводит к выражениям (2.2) при Φ , определяемом формулами (2.5). В результате получаем

$$\varphi = \alpha + (1-\alpha)[(x/\sigma - 1)^2 - y^2] \\ \varphi = 1 - (1-\alpha) \cos \frac{\pi x}{2\sigma} \sum_{k=0}^{\infty} \frac{1}{(2k)!} \left(\frac{\pi y}{2\sigma}\right)^{2k} = 1 - (1-\alpha) \cos \frac{\pi x}{2\sigma} \operatorname{ch} \frac{\pi y}{2\sigma}$$

Еще один пример, когда ряды (1.3) удается просуммировать, сведя их к элементарным функциям, будет приведен ниже.

§ 3. Формирование пучков с эллиптическим поперечным сечением. В качестве иллюстрации общего метода приведем решение нескольких задач о формировании пучков с эллиптическим поперечным сечением. Рассмотрение будем вести в эллиптических цилиндрических координатах ξ, η, z , связанных с декартовыми координатами x, y, z формулами

$$x = a \sqrt{3-1} \sin \xi \sin \eta, \quad y = a \sqrt{3-1} \sin \xi \cos \eta, \quad z = z \quad (3.1)$$

Пусть $\xi_0 \leq \xi < \infty$, $0 \leq \eta \leq 2\pi$ — лапласовская область, a — меньшая полуось эллипса-границы $\xi = \xi_0$, $\beta = (b/a)^2$. Метрика в (3.1) определяется выражениями

$$g_{11} = g_{22} = \sqrt{g} = a^2 (\beta - 1) (\sin^2 \xi + \sin^2 \eta), \quad g_{33} = 1 \quad (3.2)$$

Тогда $\alpha_0 = 1$, $\beta_0 = 1$, $\alpha_k = \beta_k = 0$ при $k > 0$ и

$$\gamma_0 = \gamma_0(\eta) = a^2 (\beta - 1) (\sin^2 \xi_0 + \sin^2 \eta)$$

$$\gamma_{2k-1} = a^2 (\beta - 1) \sin 2\xi_0 \frac{2^{2k-2}}{(2k-1)!} = \text{const}, \quad \gamma_{2k} = a^2 (\beta - 1) \cosh 2\xi_0 \frac{2^{2k-1}}{(2k)!} = \text{const}$$

Рекуррентные соотношения (1.5) принимают вид

$$s(s+1) \varphi_{s+1} + (\varphi_{s-1})_{\eta}'' + \sum_{k=0}^{s-1} \gamma_k (\varphi_{s-k-1})_z'' = 0 \quad (s = 1, 2, \dots) \quad (3.3)$$

Учитывая, что $\tanh^2 \xi_0 = 1/\beta$, приходим к окончательным формулам для γ_k

$$\gamma_0 = a^2 H(\eta) = \frac{1}{2} a^2 [(\beta + 1) - (\beta - 1) \cos 2\eta]$$

$$\gamma_{2k-1} = a^2 \sqrt{\beta} \frac{2^{2k-1}}{(2k-1)!}, \quad \gamma_{2k} = a^2 (\beta + 1) \frac{2^{2k}}{(2k)!} \quad (3.4)$$

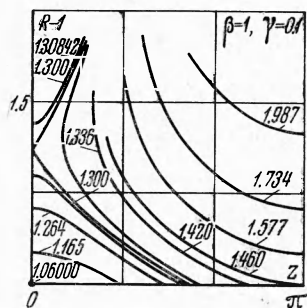
В дальнейшем будем считать, что потенциал на границе пучка состоит из суммы функций $P(\eta)$ и $W(z)$, а нормальная производная зависит только от η .

3.1. Коэффициенты разложения в общем случае. Применяя рекуррентные соотношения (3.3) и ограничиваясь первыми двенадцатью членами разложения, получим

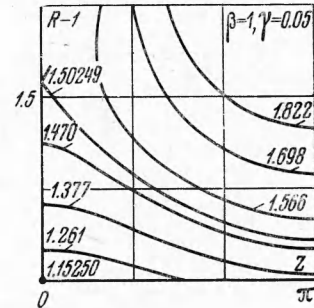
$$\begin{aligned} \varphi_0 &= P(\eta) + W(z), & \varphi_1 &= \varepsilon(\eta) \\ \varphi_2 &= -\frac{1}{2!} P'' - \frac{1}{2!} a^2 H(\eta) W'', & \varphi_3 &= -\frac{1}{3!} \varepsilon'' - \frac{1}{3} ab W'' \\ \varphi_4 &= -\frac{1}{4!} P^{IV} + \frac{1}{4!} a^4 H^2(\eta) W^{IV} - \frac{1}{6} a^2 H(\eta) W'' \\ \varphi_5 &= \frac{1}{5!} \varepsilon^{IV} + \frac{1}{15} a^3 b H(\eta) W^{IV} - \frac{1}{15} ab W'' \\ \varphi_6 &= -\frac{1}{6!} P^{VI} - \frac{1}{6!} a^6 H^3(\eta) W^{VI} + \frac{1}{36} a^4 \left[H^2(\eta) + \frac{6}{5} \beta \right] W^{IV} - \frac{1}{45} a^2 H(\eta) W'' \\ \varphi_7 &= -\frac{1}{7!} \varepsilon^{VI} - \frac{1}{280} a^5 b H^2(\eta) W^{VI} + \frac{2}{63} a^3 b \left[H(\eta) + \frac{3}{20} (\beta + 1) \right] W^{IV} - \frac{2}{315} ab W'' \\ \varphi_8 &= -\frac{1}{8!} P^{VIII} + \frac{1}{8!} a^8 H^4(\eta) W^{VIII} - \frac{1}{720} a^6 H(\eta) \left[H^2(\eta) + \frac{18}{7} \beta \right] W^{VI} + \\ &\quad + \frac{1}{120} a^4 \left[H^2(\eta) + \frac{12}{7} \beta \right] W^{IV} - \frac{1}{630} a^2 H(\eta) W'' \\ \varphi_9 &= -\frac{1}{9!} \varepsilon^{VIII} + \frac{1}{11340} a^7 b H^3(\eta) W^{VIII} - \frac{1}{360} a^5 b \left[H^2(\eta) + \frac{\beta + 1}{7} H(\eta) + \frac{10}{21} \beta \right] W^{VI} + \\ &\quad + \frac{1}{135} a^3 b \left[H(\eta) + \frac{3}{14} (\beta + 1) \right] W^{IV} - \frac{1}{2835} ab W'' \\ \varphi_{10} &= -\frac{1}{10!} P^{X} - \frac{1}{10!} a^{10} H^5(\eta) W^{X} + \frac{1}{30240} a^8 H^2(\eta) [H^2(\eta) + 4\beta] W^{VIII} - \\ &\quad - \frac{7}{10800} a^6 \left[H^3(\eta) - \frac{180}{49} \beta H(\eta) + \frac{30}{7} \beta (\beta + 1) \right] W^{VI} + \frac{17}{11340} a^4 \left[H^2(\eta) + \right. \\ &\quad \left. + \frac{162}{85} \beta \right] W^{IV} - \frac{1}{14175} a^2 H(\eta) W'' \\ \varphi_{11} &= -\frac{1}{11!} \varepsilon^{X} - \frac{1}{798336} a^9 b H^4(\eta) W^{X} + \frac{1}{10395} a^7 b H(\eta) \left[H^2(\eta) + \right. \\ &\quad \left. + \frac{\beta + 1}{8} H(\eta) + \beta \right] W^{VIII} - \frac{1}{110} a^5 b \left[\frac{7}{60} H^2(\eta) + \frac{\beta + 1}{42} H(\eta) + \frac{1}{252} (\beta^2 + \right. \\ &\quad \left. + 26\beta + 1) \right] W^{VI} + \frac{1}{110} a^3 b \left[\frac{68}{567} H(\eta) + \frac{\beta + 1}{35} \right] W^{IV} - \frac{2}{155925} ab W'' \end{aligned} \quad (3.5)$$

Заметим, что коэффициенты разложения потенциала для цилиндрического пучка получаются из (3.5) при $a = b = \beta = H = 1$. В дальнейшем в качестве характерного размера в плоскости ξ, η выберем меньшую полуось эллипса-границы; для этого положим $a = 1$ в формулах (3.5).

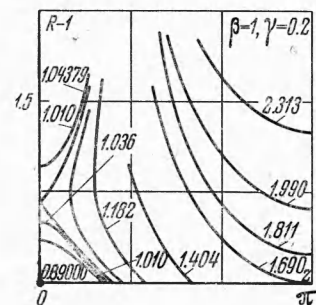
3.2. *Пучок с периодической вариацией z-компоненты скорости.* Определим формирующие электроды для течения с периодическим изменением z-компоненты скорости, которое было исследовано в [9]. Частицы при этом движутся по поверхности эллип-



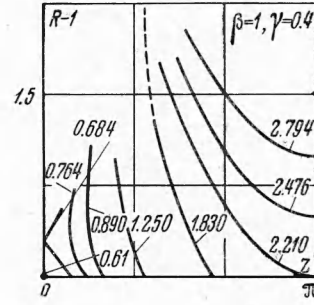
Фиг. 1



Фиг. 2



Фиг. 3



Фиг. 4

тических цилиндров $\xi = \text{const}$ в однородном магнитном поле $H = H_z$. Условия на границе пучка определяются формулами

$$\varphi_0 = \frac{\alpha}{2} \frac{\beta + 1}{\beta} - \frac{\alpha}{2} \frac{\beta - 1}{\beta} \cos 2\eta + W(z), \quad \alpha = \frac{\beta^2}{1 + \beta^2} \left(\frac{a}{d} \right)^2, \quad \beta = \frac{\omega_L + \Omega}{\omega_L - \Omega} \quad (3.6)$$

$$\varphi_1 = \frac{\alpha(\beta^2 + 1)}{\beta^{3/2}} \left(1 - \frac{\beta^2 - 1}{\beta^2 + 1} \cos 2\eta \right), \quad d = \frac{\sqrt{2}\pi e J_0}{m\omega^3}, \quad \omega^2 = \omega_L^2 + \Omega^2$$

Здесь e/m — удельный заряд частицы, J_0 — плотность тока в z -направлении, ω_L — ларморовская частота, $\Omega = \text{const}$, причем $\omega_L > \Omega$. Формулы (3.6) записаны в безразмерных переменных (символ безразмерной величины опущен), которые будут приняты для дальнейшего рассмотрения

$$x^2 = \frac{x}{a}, \quad y^2 = \frac{y}{a}, \quad z^2 = \frac{z}{d}, \quad \varphi^2 = -\frac{e\varphi}{m\omega^2 d^2} \quad (3.7)$$

Функция $W = W(z)$ задается параметрически

$$W = (1 - \gamma \cos t)^2, \quad z = t - \gamma \sin t \quad (3.8)$$

Часть членов ряда для φ , содержащих $P(\eta)$, $\varepsilon(\eta)$ и их производные, удается просуммировать. В результате получаем

$$\varphi = \alpha \left[\frac{\beta + 1}{2\beta} + \frac{\beta^2 + 1}{\beta^{3/2}} \Xi - \frac{\beta - 1}{2\beta} \cos 2\eta \left(\operatorname{ch} 2\Xi + \frac{\beta + 1}{\beta^{3/2}} \operatorname{sh} 2\Xi \right) \right] +$$

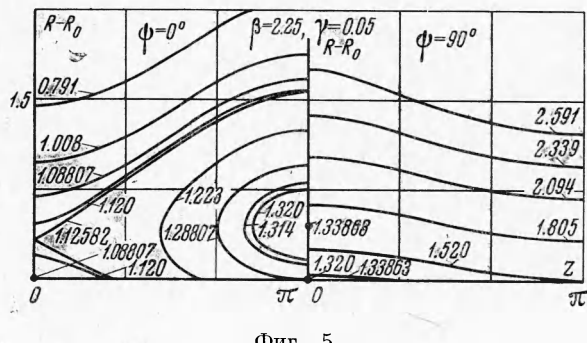
$$\begin{aligned}
& + W + \sum_{k=1}^{\infty} \frac{(-1)^k}{(2k)!} H^k W^{(2k)} \Xi^{2k} - \frac{1}{3} V \bar{\beta} W'' \Xi^3 - \frac{1}{6} HW'' \Xi^4 + \\
& + \frac{1}{15} V \bar{\beta} (HW^{IV} - W'') \Xi^5 + \left[\frac{1}{36} \left(H^2 + \frac{6}{5} \beta \right) W^{IV} - \frac{1}{45} HW'' \right] \Xi^6 + \\
& + V \bar{\beta} \left\{ -\frac{1}{280} H^2 W^{VI} + \frac{2}{63} \left[H + \frac{3}{20} (\beta + 1) \right] W^{IV} - \frac{2}{315} W'' \right\} \Xi^7 + \\
& + \left[-\frac{1}{720} H \left(H^2 + \frac{18}{7} \beta \right) W^{VI} + \frac{1}{120} \left(H^2 + \frac{12}{7} \beta \right) W^{IV} - \frac{1}{630} HW'' \right] \Xi^8 + \\
& + V \bar{\beta} \left\{ \frac{1}{11340} H^3 W^{VIII} - \frac{1}{360} \left(H^2 + \frac{\beta+1}{7} H + \frac{10}{21} \beta \right) W^{VI} + \frac{1}{135} \left[H + \right. \right. \\
& \left. \left. + \frac{3}{14} (\beta + 1) \right] W^{IV} - \frac{1}{2835} W'' \right\} \Xi^9 + \left\{ \frac{1}{30240} H^2 (H^2 + 4\beta) W^{VIII} - \right. \\
& \left. - \frac{7}{10800} \left[H^3 - \frac{180}{49} \beta H + \frac{30}{7} \beta (\beta + 1) \right] W^{VI} + \frac{17}{11340} \left(H^2 + \frac{162}{85} \beta \right) W^{IV} - \right. \\
& \left. - \frac{1}{14175} HW'' \right\} \Xi^{10} + V \bar{\beta} \left\{ -\frac{1}{798336} H^4 W^{X} + \frac{1}{10395} H \left(H^2 + \right. \right. \\
& \left. \left. + \frac{\beta+1}{8} H + \beta \right) W^{VIII} - \frac{1}{110} \left[\frac{7}{60} H^2 + \frac{\beta+1}{42} H + \frac{1}{252} (\beta^2 + 26\beta + 1) \right] W^{VI} + \right. \\
& \left. + \frac{1}{110} \left(\frac{68}{567} H + \frac{\beta+1}{35} \right) W^{IV} - \frac{2}{155925} W'' \right\} \Xi^{11} + \dots = \Psi + W + \Sigma + Q, \\
& \Xi = \xi - \xi_0
\end{aligned} \tag{3.9}$$

Конечное выражение в квадратных скобках, с которого начинается формула (3.9), является гармонической функцией и определяет фокусирующие электроды, поддерживающие эллиптический пучок [9] ($W = 0$). Обозначим его через Ψ . На фиг. 1—10 представлены результаты расчета эквипотенциальных поверхностей для ряда значений β и $\gamma < 1$, когда изменение z -компоненты скорости описывается укороченной циклоидой. При этом $d/a = \sqrt{2}$, $0 \leq z \leq \pi$, картина симметрична относительно $z = 0$ и $z = \pi$. Фиг. 1—4 соответствуют цилиндрическим пучкам. Напомним, что величина γ определяет область изменения потенциала на границе при движении вдоль оси z . Критерием точности являлась величина модуля невязки $N(\xi, \eta, z; n) = \Delta\phi(\xi, \eta, z; n)$. В каждой точке число членов ряда (3.9) в пределах $n = 0, \dots, 11$

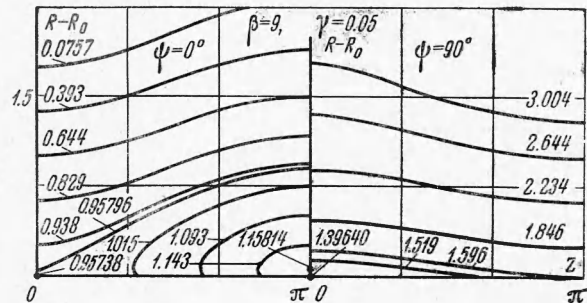
$$\varphi(n) = \sum_{k=0}^n \vartheta_k \Xi^k$$

$$\vartheta_0 = \Psi + W, \quad \vartheta_1 = 0 \tag{3.10}$$

автоматически выбиралось таким образом, чтобы невязка была минимальной. Наибольшее удаление от границы пучка определялось требованием $|N| = 0.2$. Функция $n(R; z)$ для $\beta = 1$, $\gamma = 0.4$ приведена в табл. 1. Здесь $l = R_f / \Delta R$ — число шагов, отсчитываемое от $R = 1$, вплоть до которого следует пользоваться $n(R_f / \Delta R)$ членами разложения. Так, для $t = 20^\circ$ при $l = 1$ имеем $n = 8$, при $l = 2, \dots, 10$ надо брать одиннадцать, а при $l = 11, \dots$



Фиг. 5



Фиг. 6

Таблица 1

 $\beta = 1, \gamma = 0.4$

$t, ^\circ$	$n(R_f/\Delta R)$	$t, ^\circ$	$n(R_f/\Delta R)$
0	11 (18), 10 (19)	100	9 (1), 11 (64), 7 (65), 11 (73)
10	11 (20), 10 (22)	110	9 (1), 11 (12), 8 (13), 11 (72), 7 (81)
20	8 (1), 11 (10), 7 (28)	120	9 (1), 11 (23), 8 (26), 11 (85), 7 (96)
30	9 (1), 11 (15), 5 (29)	130	9 (1), 11 (39), 8 (47), 11 (98)
40	9 (1), 11 (18), 4 (29)	140	9 (1), 11 (64), 8 (70), 11 (104)
50	8 (1), 11 (3), 10 (8), 11 (27), 9 (35), 3 (40), 9 (42), 3 (46)	150	10 (1), 9 (3), 11 (10), 9 (14), 11 (91), 8 (94), 11 (109)
60	8 (1), 10 (2), 11 (3), 9 (5), 11 (27), 8 (49), 2 (54)	160	10 (1), 9 (3), 11 (28), 9 (47), 11 (109), 8 (120)
70	8 (1), 10 (2), 11 (18), 8 (30), 2 (33), 8 (40)	170	10 (1), 9 (3), 11 (43), 9 (65), 11 (116)
80	8 (1), 10 (2), 11 (12), 8 (16), 11 (45)	180	10 (1), 8 (2), 9 (3), 10 (4), 11 (48), 9 (70), 11 (117)

..., 28 — семь членов ряда; при этом $\Delta R=0.025$. Требование $|N| \leq 1$ при $\phi \sim 1$ является достаточно жестким. В табл. 2 приведены значения потенциала, вычисленные по формуле (3.10) для разных n , и соответствующие значения невязки.

Заметим, что наличие перегиба у кривой $W=W(z)$ при $t=1/2 \pi$ позволяет написать точное выражение для потенциала $\Phi_{ex}(\xi, \eta)$ в плоскости $z=1/2 \pi - \gamma$

$$\Phi_{ex} = \alpha \left[\frac{\beta+1}{2\beta} + \frac{\beta^2+1}{\beta^{3/2}} \Xi - \frac{\beta-1}{2\beta} \cos 2\eta \left(\operatorname{ch} 2\Xi + \frac{\beta+1}{\beta^{1/2}} \operatorname{sh} 2\Xi \right) \right] + 1 = \Psi + 1 \quad (3.11)$$

Этот факт дает возможность оценить ошибку в точках максимального удаления от границы пучка; при $\gamma=0.4$ она не превышает 3% по потенциалу и 5% по R . Как и следовало ожидать, сходимость разложений ухудшается при увеличении значений параметров β, γ .

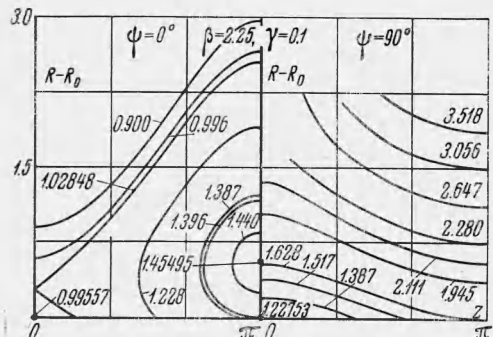
Производные высших порядков в (3.9) определялись аналитически дифференцированием уравнения для W ; при этом использовался его первый интеграл

$$W'' = 2(W^{-1/2} - 1)$$

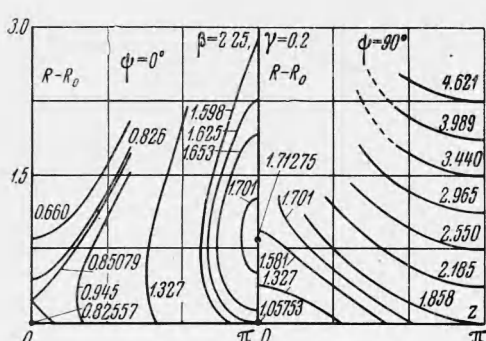
$$W'^2 = 8W^{1/2} - 4W + 4(\gamma^2 - 1)$$

На фиг. 5—9 изображены кривые, получающиеся от пересечения поверхностей $\phi = \text{const}$ полуплоскостями $\psi=0$ и $\psi=90^\circ$. Здесь R, ϕ — обычные полярные координаты с полюсом в $x=y=0$ и углом, отсчитываемым от большей полусоси эллипса-границы

$$R_0 = \beta^{1/2} [1 + (\beta - 1) \sin^2 \psi]^{-1/2} \quad (3.12)$$



Фиг. 7



Фиг. 8

При $\psi=0$ потенциал в каждом из сечений $z=\text{const}$ меняется немонотонно, достигая максимального значения на некотором удалении от $R=R_0$. Это приводит к появлению замкнутых кривых, стягивающихся, наконец, в точку. При $\psi=90^\circ$ максимум потенциала приходится, по-видимому, на большие R .

На фиг. 10 изображена эволюция эквипотенциалей $\phi=1.33863$ и $\phi=1.320$ при переходе от $\psi=0$ к $\psi=90^\circ$ ($\psi=0, 5, 10, 30, 60^\circ$). Первая из них при $\psi=0$ вырождается в точку. При увеличении ψ движение кривых происходит справа налево, причем между 10 и 30° эквипотенциали раздваиваются (вторая —

Таблица 2

 $\beta = 1, \gamma = 0.4$

$ N(n) $	$\varphi(n)$	$ N(n) $	$\varphi(n)$
$t = 0, R = 1.15$		$t = 180^\circ, R = 1.6$	
1.76	0.679880970	1.46	2.44500181
0.510	0.666858704	0.950	2.50814707
0.144	0.665645360	0.432	2.52789334
$0.354 \cdot 10^{-1}$	0.665462433	0.159	2.53296422
$0.869 \cdot 10^{-2}$	0.665435748	$0.516 \cdot 10^{-1}$	2.53415636
$0.213 \cdot 10^{-2}$	0.665431355	$0.146 \cdot 10^{-1}$	2.53442748
$0.536 \cdot 10^{-3}$	0.665430592	$0.340 \cdot 10^{-2}$	2.53448583
$0.137 \cdot 10^{-3}$	0.665430448	$0.580 \cdot 10^{-3}$	2.53449690
$0.354 \cdot 10^{-4}$	0.665430420	$0.411 \cdot 10^{-4}$	2.53449856
$0.980 \cdot 10^{-5}$	0.665430414	$0.143 \cdot 10^{-4}$	2.53449869
$0.336 \cdot 10^{-5}$	0.665430413	$0.589 \cdot 10^{-5}$	2.53449868
$t = 100^\circ, R = 1.6$		$t = 180^\circ, R = 1.9$	
0.332	1.62874487	2.06	2.53092694
0.421	1.64309241	1.65	2.64863449
0.367	1.64758761	0.979	2.69900185
0.235	1.65021314	0.482	2.71663879
0.108	1.65159470	0.207	2.72230422
$0.353 \cdot 10^{-1}$	1.65211406	$0.771 \cdot 10^{-1}$	2.72405981
$0.640 \cdot 10^{-2}$	1.65225890	$0.236 \cdot 10^{-1}$	2.72457672
$0.114 \cdot 10^{-2}$	1.65228643	$0.514 \cdot 10^{-2}$	2.72471065
$0.163 \cdot 10^{-2}$	1.65228767	$0.359 \cdot 10^{-3}$	2.72473796
$0.792 \cdot 10^{-3}$	1.65228576	$0.291 \cdot 10^{-3}$	2.72474109
$0.193 \cdot 10^{-3}$	1.65228467	$0.130 \cdot 10^{-3}$	2.72474062

Таблица 3

$ N(n) $	$\varphi(n)$	$ N(n) $	$\varphi(n)$
----------	--------------	----------	--------------

 $\beta = 1, \alpha = 0.2$

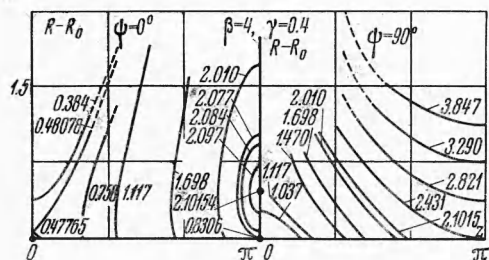
$Z = 0, R = 1.2$		$Z = 1.602, R = 2$	
1.43	0.200000000	1.62	1.20000000
0.496	0.183482339	1.05	1.10253520
0.141	0.181474656	0.409	1.05749690
$0.388 \cdot 10^{-1}$	0.181177953	$0.488 \cdot 10^{-1}$	1.04357033
$0.120 \cdot 10^{-1}$	0.181131443	$0.449 \cdot 10^{-1}$	1.04110855
$0.399 \cdot 10^{-2}$	0.181121960	$0.285 \cdot 10^{-1}$	1.04123565
$0.139 \cdot 10^{-2}$	0.181119768	$0.228 \cdot 10^{-2}$	1.04148818
$0.494 \cdot 10^{-3}$	0.181114947	$0.785 \cdot 10^{-2}$	1.04156454
$0.178 \cdot 10^{-3}$	0.181119041	$0.691 \cdot 10^{-2}$	1.04155977
$0.650 \cdot 10^{-4}$	0.181118996	$0.305 \cdot 10^{-2}$	1.04154283
$0.239 \cdot 10^{-4}$	0.181118983	$0.242 \cdot 10^{-3}$	1.04153294

 $\beta = 25, \psi = 0, \alpha = 0.2$

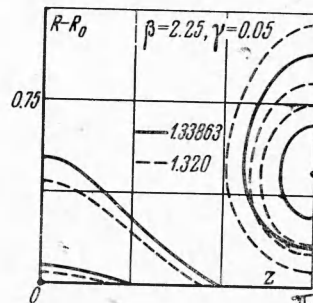
$Z = 0, R = 5.2$		$Z = 1.602, R = 5.6$	
3.02	0.200000000	2.99	1.20000000
1.60	0.189400000	1.48	1.17843383
0.186	0.184239388	$0.795 \cdot 10^{-1}$	1.15499479
0.113	0.184117198	$0.273 \cdot 10^{-1}$	1.15431293
$0.431 \cdot 10^{-1}$	0.184040478	$0.684 \cdot 10^{-1}$	1.15402944
$0.142 \cdot 10^{-1}$	0.184018797	$0.178 \cdot 10^{-1}$	1.15419896
$0.600 \cdot 10^{-2}$	0.184014476	$0.126 \cdot 10^{-2}$	1.15424456
$0.264 \cdot 10^{-2}$	0.184013115	$0.310 \cdot 10^{-2}$	1.15424824
$0.104 \cdot 10^{-2}$	0.184012612	$0.177 \cdot 10^{-2}$	1.15424633
$0.111 \cdot 10^{-2}$	0.184012074	$0.576 \cdot 10^{-2}$	1.15423750
$0.136 \cdot 10^{-2}$	0.184012023	$0.619 \cdot 10^{-2}$	1.15423710

верхняя — ветвь не изображена на фигурах); R_0 меняется в соответствии с формулой (3.12).

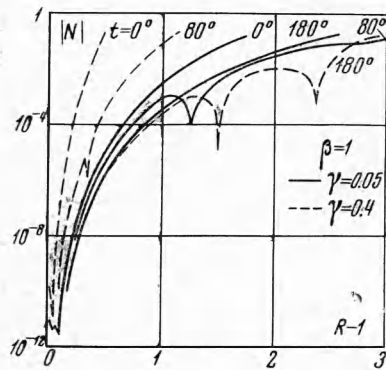
Фиг. 11 дает представление о характере изменения невязки для $\beta = 1$, $\gamma = 0.05$ и $\gamma = 0.4$, $t = 0, 80$ и 180° ; при этом для $|N|$ использован логарифмический масштаб.



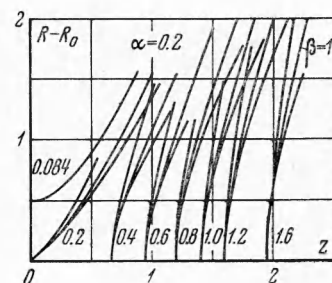
Фиг. 9



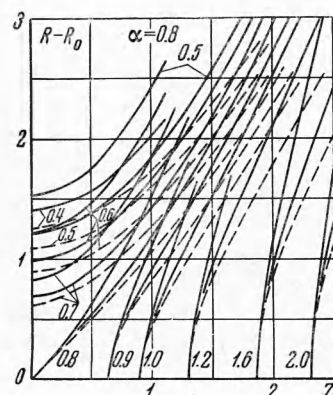
Фиг. 10



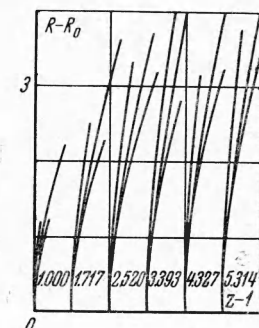
Фиг. 11



Фиг. 12



Фиг. 13



Фиг. 14

Заметим, что течение с периодической вариацией v_z не может быть реализовано при помощи двухэлектродной системы, по крайней мере, с потенциалами, указанными на фигурах. Такой же особенностью, впрочем, обладает и кольцевой пучок [8] на участке ускорения $0 \leq \psi \leq 60^\circ$.

3.3. Случай немонотонного изменения потенциала при течении между параллельными плоскостями. В принятых в [10] безразмерных переменных условия Коши на границе пучка записутся следующим образом:

$$Z = z - \sigma = \mp (\Phi_0^{1/2} + 2\alpha^{1/2}) \sqrt{\Phi_0^{1/2} - \alpha^{1/2}}, \quad \sigma = (1 + 2\alpha^{1/2}) \sqrt{1 - \alpha^{1/2}}, \quad \Phi_1 = 0 \quad (3.13)$$

Зависимость $\Phi_0 = \Phi_0(z)$ задается неявно; $\alpha = \Phi_0(\sigma)$ — минимальное значение потенциала $\alpha \leq \Phi_0$. Решение определяется формулами (3.5) без каких-либо изменений. Высшие производные находились дифференцированием уравнения для Φ_0 с использованием его первого интеграла

$$\Phi_0'' = 4/\sigma \Phi_0^{-1/2}, \quad \Phi_0'^2 = 16/\sigma (\Phi_0^{1/2} - \alpha^{1/2})$$

Потенциал вычислялся так же, как и в предыдущем случае. Результаты приведены на фиг. 12, 13. В каждой связке из трех кривых, которым приписано некоторое значение потенциала, средняя соответствует значению $\beta = 1$ (цилиндрический пучок), две другие — $\beta = 25$. При этом кривая с большим наклоном отвечает сечению $\psi = 0$, а с меньшим — $\psi = 90^\circ$. Последние на фиг. 13 изображены пунктиром. Представленные результаты могут быть использованы для построения периодических фокусирующих систем для пучков с круглым и эллиптическим поперечными сечениями.

В табл. 3 приведены значения $\varphi(n)$ и $|N(n)|$ при $\alpha = 0.2$ и разных R, z . Заметим, что уменьшение значения параметра α затрудняет сходимость рядов.

3.4. Ускоряющие электроды при эмиссии, ограниченной пространственным зарядом. На границе пучка $\xi = \xi_0$ имеем

$$\Phi_0 = z^{4/3}, \quad \Phi_1 = 0 \quad (3.14)$$

Часть членов в разложении (3.5) удается просуммировать. В результате получаем

$$\varphi = (z^2 + H\Xi^2)^{2/3} \cos^{4/3} \operatorname{arc} \operatorname{tg}[(VH\Xi)/z] + Q$$

где Q — полином в (3.9).

Результаты расчета ускоряющих электродов приведены на фиг. 14. Как и на двух предыдущих фигурах, здесь представлены эквипотенциальные кривые, соответствующие цилиндрическому ($\beta=1$) и эллиптическому пучкам ($\beta=25$, $\psi=0$ и $\psi=90^\circ$), причем случаю $\beta=25$, $\psi=0$ отвечают кривые с наибольшим наклоном.

Поступила 4 IV 1967

ЛИТЕРАТУРА

1. Radley D. E. The Theory of the Pierce Type Electron Gun. J. Electr. Contr., 1958, vol. 4, No. 2.
2. Lomax R. J. Exact Electrode Systems for the Formation of a Curved Space-Charge Beam. J. Electr. Contr., 1957, vol. 3, No. 4.
3. Lomax R. J. Exact Electrode Systems for the Formation of a Curved Space-Charge Beam. J. Electr. Contr., 1959, vol. 7, No. 6.
4. Kirstein P. T. On the Determination of the Electrodes Required to Produce a Given Electric Field Distribution Along a Prescribed Curve. Proc. IRE, 1958, vol. 46, No. 10.
5. Harker K. J. Solution of Cauchy Problem for Laplace's Equation in Axially Symmetric Systems. J. Math. Phys., 1963, vol. 4, No. 7.
6. Pierce J. R. Rectilinear Electron Flow in Beams. J. Appl. Phys., 1940, vol. 11, No. 8.
7. Daykin P. N. Electrode Shapes for Cylindrical Electron Beam. Brit. J. Appl. Phys., 1955, vol. 6, No. 7.
8. Meltzer B. Single-Component Stationary Electron Flow Under Space Charge Conditions. J. Electr., 1956, vol. 2, No. 2.
9. Kent G. Generalized Brillouin Flow. Commun. and Electronics, 1960, vol. 79, No. 48.
10. Сыровой В. А. Периодическая электростатическая фокусировка ленточного пучка. ПМТФ, 1965, № 4.